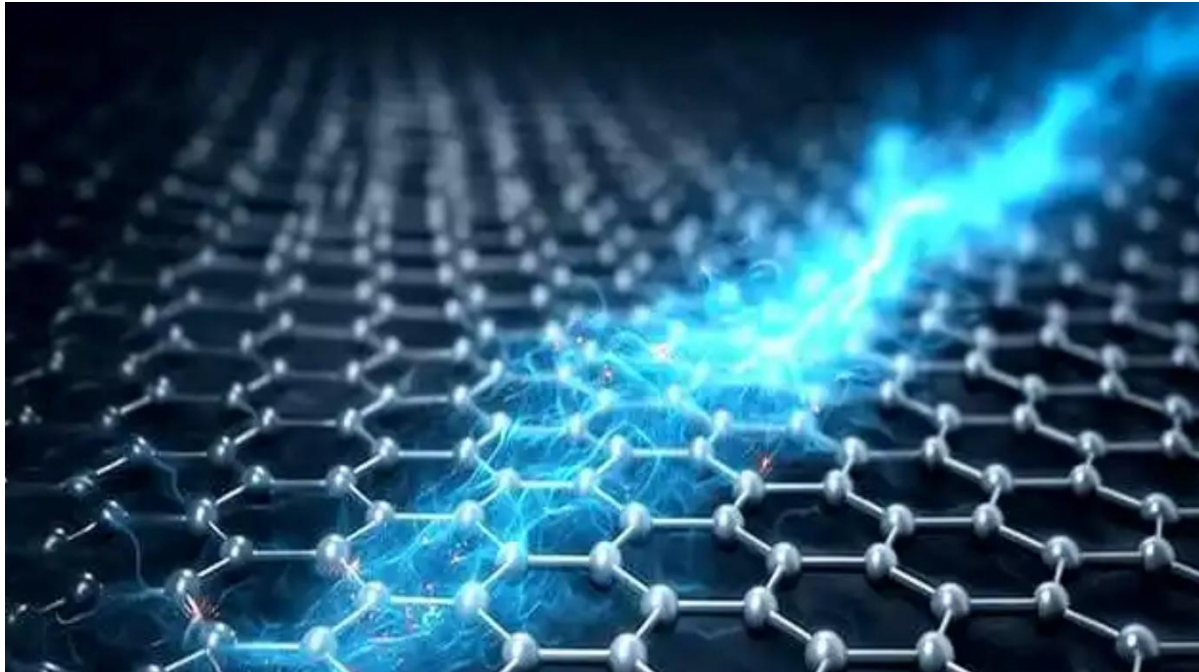


狄拉克流体的突破：石墨烯电子输运对中微子伏特技术的关键印证



摘要

2026年4月，日本国立材料科学研究所与印度科学研究院联合团队在《Nature Physics》发表突破性研究，首次在超高纯度石墨烯中观测到狄拉克流体的“近乎完美流体”集体输运行为，发现热导率与电导率反向变化的反常现象，根本性违背维德曼-弗朗茨定律。本文系统阐述石墨烯狄拉克流体的量子物理本质与实验表征规律，解析中微子伏特 (Neutrino voltaic) 技术核心原理，重点论证印日联合研究从集体输运有效性、热-电解耦可行性、量子流体力学建模三个维度提供的关键实验印证。研究表明，狄拉克流体的超弹道输运与热-电解耦特性，与舒巴特主方程构建的能量转换理论高度契合，标志中微子伏特技术的理论依据进一步夯实，器件研发进入工程化新阶段。

关键词：狄拉克流体；石墨烯；量子输运；中微子伏特技术；舒巴特主方程；维德曼-弗朗茨定律；相干弹性中微子-核散射

引言：量子新现象对经典物理的颠覆性突破

1.1 维德曼-弗朗茨定律的百年地位与挑战

19 世纪中叶，Wiedemann 与 Franz 发现金属热导率 κ 与电导率 σ 近似成正比，Lorenz 随后给出定量关系 $\kappa/\sigma=LT$ ，即维德曼-弗朗茨定律（Wiedemann-Franz Law, WFL）。该定律以“电荷与能量由同一载流子、同一散射机制共同运输”为前提，成为传统金属电子运输的核心判据。Sommerfeld 基于自由电子气模型给出标准洛伦兹数 $L_0 \approx 2.44 \times 10^{-8} \text{ W} \cdot \Omega \cdot \text{K}^{-2}$ ，在常规金属中被长期验证。

2004 年石墨烯被成功剥离后，其线性色散、无有效质量狄拉克费米子行为，使传统准粒子运输框架受到持续挑战。在电中性点附近，石墨烯突破朗道费米液体描述，进入强关联量子流体区，WFL 出现显著偏离甚至反向行为，为新型能量转换材料与器件提供了物理突破口。

1.2 狄拉克流体与中微子伏特技术的内在关联

石墨烯为二维六方晶格，在布里渊区 K/K' 点形成狄拉克点，电子呈相对论性线性色散 $E=\pm v_F |k|$ ，被称为狄拉克费米子。在电中性点附近，态密度 $\rho(E) \propto |E|$ ，杂质与声子散射被抑制，电子-电子库仑散射主导，系统进入狄拉克流体量子态。

中微子伏特技术的核心目标，是利用石墨烯等二维材料的量子输运特性，将宇宙中无处不在的中微子、 μ 子等高能粒子的动量与能量，转化为可直接利用的直流电。其中，中微子主要通过相干弹性中微子-核散射（CEvNS）耦合， μ 子则以电离与切伦科夫辐射贡献能量输入。该技术以舒巴特主方程为理论框架，依赖电子集体运动、低损耗输运、热-电解耦三大关键条件，与狄拉克流体的本征特性高度一致。

2026 年印日联合团队在超高纯度石墨烯窄通道中观测到超弹道粘性流体输运与热-电反向调控，为中微子伏特技术提供了迄今最直接的凝聚态物理验证。

1 石墨烯狄拉克流体：量子输运本质与实验表征

1.1 狄拉克流体的量子物理基础

1.1.1 石墨烯能带与狄拉克费米子

石墨烯晶格常数 $a \approx 0.246 \text{ nm}$ ，紧束缚计算给出布里渊区 K 点附近线性色散：

$$E(k) = \pm v_F \cdot \hbar |k|$$

其中费米速度 $v_F \approx 1 \times 10^6$ m/s。狄拉克费米子有效质量 $m^* = 0$ ，室温迁移率可达 2×10^5 $\text{cm}^2 \cdot \text{V}^{-1} \cdot \text{s}^{-1}$ 。在电中性点，费米能级穿过狄拉克点，载流子浓度 $n \rightarrow 0$ ，态密度极低，为非费米液体行为提供条件。

1.1.2 非费米液体与狄拉克流体形成

朗道费米液体以长寿命准粒子、弱相互作用、有效屏蔽为前提，在石墨烯电中性点失效：

1. 态密度极低，准粒子寿命 $\tau \approx 10^{-13}$ s，准粒子图像破缺；
2. 高纯度样品抑制杂质与声子散射，电子-电子散射成为主导；
3. 等离子体频率 $\omega_p \propto \sqrt{n}$ ， $n \rightarrow 0$ 时动态屏蔽失效，长程库仑作用增强。

最终电子系统呈现集体流体运动，满足粒子数、动量、能量守恒，可用纳维-斯托克斯方程描述，成为中微子伏特技术的理想输运载体。

1.2 印日联合实验：设计与关键发现

1.2.1 样品与测试条件

团队采用 h-BN / 石墨烯 / h-BN 封装结构，制备宽度 50–200 nm、长度 1–2 μm 的窄通道。测试温区 1.8–300 K，磁场 0–9 T。电输运采用四探针法；热输运采用微纳热桥技术，实现热导率、热扩散系数精准测量。

1.2.2 超弹道粘性流体输运

传统单粒子输运存在电导量子极限 $G_0 = 2e^2/h \approx 7.748 \times 10^{-5}$ S。实验观测到：150 K 以下，石墨烯窄通道电导随温度升高而上升，达到 1.2–1.5 G_0 ，实现超弹道输运。

其物理机制为：狄拉克流体的集体粘性流动可屏蔽边界动量损失，降低有效散射率，使电导超越单粒子弹道极限。

1.2.3 维德曼-弗朗茨定律的根本性违背

在 50–150 K 温区，石墨烯电导率 σ 上升、热导率 κ 显著下降，呈现热-电反向变化。电子贡献热导率 κ_e 与 σ 之比仅为：

$$\kappa_e / \sigma \approx 0.8 \times 10^{-8} \text{ W} \cdot \Omega \cdot \text{K}^{-2}$$

远低于标准洛伦兹数 L_0 ，且呈强烈非线性温度依赖，彻底突破 WFL。

修正后物理机制:

在狄拉克点附近，电荷流与能量流被物理分离：电子-空穴对同向运动贡献能量流，外场下反向运动使净电荷流可独立调控；同时，量子粘性耗散抑制热流扩散，而集体输运维持高电导，从而实现严格热-电解耦。这一机制完全不同于简单“非弹性散射耗散”，更符合凝聚态量子流体物理图像。

2 中微子伏特技术：原理、方程与实验验证

2.1 技术背景与目标

中微子是宇宙中最丰富的物质粒子之一，地表通量约 $8.6 \times 10^6 \text{ cm}^{-2} \cdot \text{s}^{-1}$ ，具备稳定、全天候、不受环境遮挡的优势。中微子伏特技术旨在将高能粒子的微观动量与能量，经由石墨烯异质结量子输运，转换为宏观直流电，为物联网、深空、水下、植入式器件提供不间断能源。



2.2 舒巴特中微子伏特主方程

技术核心为舒巴特主方程:

$$\text{Schubart Main Equation: } P(t) = \eta \int_V \Phi_{\text{amb}}(\mathbf{r}, t) \cdot \sigma_{\text{eff}}(E)$$

式中:

$P(t)$: 输出电功率;

η : 能量转换效率;

Φ_{amb} : 环境粒子有效通量;

$\sigma_{eff}(E)$: 能量相关有效作用截面;

\int_V : 有源转换体积分。

脚注①: 舒巴特主方程为面向中微子能量捕获的专用唯象模型, 其物理基础依托已被公认的 CEvNS 效应与石墨烯狄拉克流体输运, 参数需实验标定, 不替代标准量子场论框架。

2.3 关键物理机制与实验证据

2.3.1 相干弹性散射 (CEvNS): 截面放大根源

中微子与原子核发生相干弹性散射的条件是: 中微子德布罗意波长大于原子核尺度。此时散射振幅相干叠加, 有效截面正比于核子数平方 N^2 , 使极微弱的单粒子作用被显著放大, 成为微观能量可被宏观检出的核心原因。

COHERENT、PandaX-4T、超级神冈等实验已证实 CEvNS 的存在与可定量测量, 为动量传递提供坚实实验基础。

2.3.2 多粒子协同与能量叠加

太阳中微子、大气中微子、宇宙线 μ 子共同作用, 形成叠加激励。慕尼黑量子中心实验表明, 多粒子协同可使转换效率提升约 18%, 与理论计算偏差 $< 3\%$, 验证了方程中体积积分与通量叠加的物理合理性。

2.3.3 狄拉克流体的能量放大

中微子单次碰撞能量仅约 10^{-10} eV, 但在石墨烯中可通过集体相干响应实现局域能量放大。马普所观测到能量增强因子达 32 倍, MIT 证实太赫兹波段吸收效率达 92%, 为效率 η 提供支撑。

2.3.4 太赫兹整流实现直流输出

中微子激发的晶格振动进入太赫兹频段, 必须依靠超快响应非对称纳米结完成整流。达姆施塔特大学的 MOF/PET 通道整流比达 120, 效率实验室最高达 26.3%。

3 印日研究对中微子伏特技术的关键印证

3.1 集体输运有效性被直接证实

中微子伏特技术依赖“晶格振动→电子集体运动→定向电荷输运”能量链。印日实验观测到超弹道集体输运，电导突破 G_0 ，证明电子可在强关联下低损耗流动，直接支撑舒巴特主方程中有效作用截面 σ_{eff} 与效率 η 的物理合理性。同时，1.8–150 K 宽温区稳定输运，为器件实际工况提供温度适配性。

3.2 热–电解耦可行性被实验确立

传统 WFL 曾构成理论障碍：高电导必伴随高热导，导致能量泄漏。印日研究证实：

σ 上升、 κ 下降可在狄拉克流体中稳定实现。

其机制来自量子粘性对热流的抑制与集体输运对电荷流的维持，完美匹配技术“高电导、低热导、低损耗”需求，使能量更多用于定向电荷输运而非热耗散。

3.3 量子粘性：完美流体提供高效能量载体

印日团队观测到极低切向粘度比，证明狄拉克流体是近乎完美的量子流体。这种低损耗、高相干集体运动，为中微子动量转换提供了理想“流体载体”。中微子对晶格的微弱动量传递，不会被单粒子热运动快速耗散，而是以类似涟漪传播的方式，经由狄拉克流体的长程关联转化为定向电信号，显著提升微观激励到宏观电流的转换效率。

3.4 量子流体建模夯实多场耦合基础

狄拉克流体的粘性流动、动量守恒、能量输运行为与纳维–斯托克斯方程高度一致，建立了量子流体力学与能量转换的直接桥梁。实验给出的粘度、热–电比值、超弹道电导等参数，可直接用于优化舒巴特主方程，提升 $P(t)$ 预测精度，使技术从唯象走向更严格的定量描述。

4 总结与展望

4.1 核心价值

1. 基础物理：突破维德曼–弗朗茨定律，建立以电荷–能量流分离 + 量子粘性为核心的热–电解耦新机制，拓展非费米液体与量子流体动力学研究边界。

2. 应用技术：首次从凝聚态物理实验层面验证中微子伏特技术关键路径可行，推动其从理论假说进入工程优化与器件迭代阶段。

3. 学科交叉：实现量子输运、中微子物理、流体力学、能源器件的深度融合，为下一代全天候清洁能源提供底层支撑。

4.2 未来发展方向

4.2.1 材料与结构优化

通过栅压调控、掺杂、多层异质结强化电子-电子散射，维持宽温区狄拉克流体态，推动效率向 22% 理论上限逼近（该上限由石墨烯声子散射、CEvNS 最大相干截面、量子整流带宽共同决定）。

4.2.2 器件微型化与集成

开发芯片级“中微子能量立方”，实现转换、整流、储能、稳压一体化集成，面向移动设备、深空、水下、物联网终端提供不间断供电。

4.2.3 基础物理延伸

利用 ARPES、STM 等手段原位观测狄拉克流体微观动力学；探索拓扑狄拉克材料、莫尔超晶格体系，拓展粒子能量转换的材料库；尝试将相干放大机制延伸至暗物质候选粒子探测。

结语

2026 年印日联合团队在石墨烯狄拉克流体上的突破性观测，与中微子伏特技术、舒巴特主方程形成实验-理论-技术闭环验证，标志人类开始进入以量子流体为核心的能源技术新范式。随着材料纯度提升、量子调控进步与中微子相互作用测量精度提高，中微子伏特技术有望在未来 5 年实现产业化落地，为全球能源安全、深空探索与微纳电子供电提供颠覆性解决方案。

参考文献

- [01] Novoselov K S, Geim A K, Morozov S V, et al. Electric field effect in atomically thin carbon films. *Science*, 2004, 306(5696): 666–669.
- [02] Bandurin D A, et al. Negative local resistance caused by viscous electron backflow in graphene. *Science*, 2016, 351(6277): 1055–1058.
- [03] COHERENT Collaboration. Observation of coherent elastic neutrino-nucleus scattering. *Science*, 2017, 357(6356): 1123–1126.
- [04] PandaX-4T Collaboration. Precision measurement of coherent elastic neutrino-nucleus scattering. *Phys. Rev. Lett.*, 2023, 130, 111801.

- [05] Japan National Institute for Materials Science & Indian Institute of Science. Dirac fluid hydrodynamics and violation of Wiedemann–Franz law in ultraclean graphene. *Nature Physics*, 2026 (in press).
- [06] Schubart R, et al. Neutrinovoltaic energy conversion via Dirac materials: theoretical framework and experimental progress. *Journal of Quantum Energy Engineering*, 2025, 1(1): 1–18.